

مقاله پژوهشی



اطلاعات جدید پیرامون شبہ قارچ‌های مولد زنگ سفید گیاهان در ایران*

محمد رضا میرزائی^۱**، ناصر پنجه‌که^۲، محمد سالاری^۳، رسول زارع^۴، مهدی پیرنیا^۵ و شیراحمد سارانی^۶

(تاریخ دریافت: ۱۴۰۰/۲/۱۴؛ تاریخ پذیرش: ۱۴۰۰/۵/۵)

چکیده

بیمارگرهای عامل بیماری زنگ سفید گیاهان (*Albuginales, Oomycota* و *Pustula Albugo* و *Wilsoniana*) شامل سه جنس (*Albuginales, Oomycota* و *Pustula Albugo* و *Wilsoniana*) هستند که روی میزبان‌های تیره *Brassicaceae* راسته *Caryophyllales* و زیر رده *Asteridae* بیماری‌زا می‌باشند. این تحقیق با هدف ارائه اطلاعات جدید از راسته *Albuginales* در ایران انجام شد. برای نمونه‌برداری از زنگ سفید گیاهان، بازدیدهایی از برخی مناطق شمالی و شرقی ایران در بازه زمانی ۱۳۹۶-۱۳۹۹ صورت گرفت. بر اساس صفات ریخت‌شناسی و داده‌های مولکولی مبتنی بر ژن‌های *ITS* و *Cox2* گونه‌های *Albugo* روی *A. candida* *Strigosella africana* از *Albugo arenosa* *Camelina transcaspica* روی *A. koreana* *Lepidium sativum* *lepidii* روی *Portulaca sp.* روی *Wilsoniana portulacae* از اسفلنج و *A. occidentalis* شناسائی شدند. بر اساس نتایج حاصل از این تحقیق، موقع گونه *A. candida* روی میزبان‌های *Goldbachia laevigata* و *Raphanus sativus* *Eruca sativa* و *Albugo lepidii* از ایران و روی میزبان‌های *Sisymbrium altissimum* و *Isatis leuconeura* *Savignya parviflora* *Sinapis arvensis* مولکولی تایید و گونه *Sisymbrium septulatum* نیز به عنوان میزبان جدید برای آن گزارش می‌شود. همچنین بیماری زنگ سفید با عامل *A. candida* به عنوان اولین بیماری روی جنس *Savignya* از ایران گزارش می‌شود. آرایه‌های *A. koreana* و *A. candida* برای میکروبیوتای ایران جدید می‌باشند. توصیف کامل همراه با تصاویر و موقعیت فیلوزنیکی برای دو گونه *Albugo occidentalis* و *Wilsoniana portulacae* کلیدواژه: *Albuginales*، ریخت‌شناسی، فیلوزنی

* مقاله مستخرج از پایان نامه دکترای تخصصی به راهنمایی آقایان دکتر ناصر پنجه‌که و محمد سالاری

** مسئول مکاتبات، پست الکترونیکی: Mirzaee_mrz@yahoo.com

۱. دانشجوی دکترای بیماری شناسی گیاهی، گروه گیاه پزشکی، دانشکده کشاورزی، دانشگاه زابل، ایران.

۲. دانشیار گروه گیاه‌پزشکی، دانشکده کشاورزی، دانشگاه زابل، زابل، ایران.

۳. دانشیار گروه گیاه‌پزشکی، دانشکده کشاورزی، دانشگاه زابل، زابل، ایران.

۴. استاد پژوهش، موسسه تحقیقات گیاه پزشکی کشور، سازمان تحقیقات، آموزش و ترویج کشاورزی، تهران، ایران.

۵. دانشیار گروه گیاه‌پزشکی، دانشکده کشاورزی، دانشگاه زابل، زابل، ایران.

۶. استادیار گروه گیاه‌پزشکی، دانشکده کشاورزی، دانشگاه زابل، زابل، ایران.



Research Article

Additions to the knowledge of order Albuginales in Iran

M.R. Mirzaee^{1*}, N. Panjehkeh², M. Salari³, R. Zare⁴, M. Pirnia⁵, and S.A. Sarani⁶

(Received: 4.6.2021; Accepted: 27.7.2021)

Abstract

Pathogens causing white blister rusts (Albuginales, Oomycota) comprise three genera namely *Albugo*, *Pustula* and *Wilsoniana*, infecting species of Brassicaceae, Caryophyllales and Asteridae, respectively. The current study contributes with new information on order Albuginales in Iran. An extensive survey for sampling white blister rust specimens was performed during the 2017-2020 growing seasons in some regions in Eastern and Northern Iran. Based on morphological and molecular (Cox2 and ITS) data *Albugo lepidii* on *Lepidium sativum*, *A. koreana* on *Camelina transcaspica*, *Albugo arenosa* on *Strigosella africana*, *A. candida* on various hosts, *A. occidentalis* on spinach and *Wilsoniana portulacae* on *Portulaca* sp. were identified. Our results, represent the first morphologically and molecularly verified report of *A. candida* on *Goldbachia laevigata*, *Raphanus sativus*, *Eruca sativa* from Iran and on *Sinapis arvensis*, *Savignya parviflora*, *Isatis leuconeura* and *Sisymbrium altissimum* worldwide. *Sisymbrium septulatum* is reported as a new host for *A. candida*. White blister rust caused by *A. candida* is reported for the first time on a member of the genus *Savignya* in Iran. *Albugo lepidii* and *A. koreana* are new records for Iranian mycobiota. Detailed descriptions and illustrations along with phylogenetic placement are provided for *Wilsoniana portulacae* and *Albugo occidentalis*.

Keywords: Albuginales, morphology, phylogeny

* Corresponding author's E-mail: Mirzaee_mrz@yahoo.com

1. PhD student of Plant Pathology. Department of Plant Protection, Faculty of Agriculture. University of Zabol. Zabol, Iran.
2. Associate Professor for Plant Pathology, Department of Plant Protection, Faculty of Agriculture. University of Zabol. Zabol. Iran.
3. Associate Professor for Plant Pathology, Department of Plant Protection, Faculty of Agriculture. University of Zabol. Zabol. Iran.
4. Professor, Iranian Research Institute of Plant Protection, Agricultural Research, Education and Extension Organization (AREEO), Tehran, Iran.
5. Associate Professor for Plant pathology, Department of Plant Protection, Faculty of Agriculture. University of Zabol. Zabol. Iran.
6. Assistant Professor for Plant Pathology, Department of Plant Protection, Faculty of Agriculture. University of Zabol. Zabol. Iran.

مقدمه

A. (Thines *et al.* 2009) *A. laibachii*, (et al. 2008 Ploch *et al.*) *A. leimonios A. hesleri hohenheimia* (2010) و *A. rorippae* (Choi *et al.* 2011a) از این جنس روی این میزبان‌ها توصیف شده‌اند. تنوع گونه‌ای جنس *Albugo* روی میزبان‌های تیره شب بوئیان هنوز ناشناخته مانده است. بر اساس اطلاعات مولکولی حاصل از توالی‌یابی ژن‌های ITS و/یا Cox2، احتمالاً هر جنس از این تیره گیاهی توسط بیش از یک گونه از *Albugo* آلوده می‌شود. روی گونه‌هایی از جنس *Cardamine* سه گونه در کنار *A. hohenheimia* و *A. hesleri A. leimonios* گونه معمول *A. candida* توصیف و تایید شده‌اند (Ploch *et al.* 2010). روی گونه‌های جنس *Alyssum* حداقل چهار گونه اختصاصی توصیف نشده وجود دارد (مکاتبات شخصی، Marco Thines).

اعضای جنس *Pustula* بیمارگرهای اختصاصی تیره Asteraceae بوده، برخی گونه‌ها میزبان‌هایی از Goodeniaceae و Gentianaceae، Araliaceae آلوده می‌کنند (Xu *et al.* 2016). بر اساس مطالعات فیلوژنتیکی مبتنی بر توالی‌یابی بخشی از ژن Cox2، تیره Asteraceae توسط چندین گروه ژنتیکی متمایز و توصیف نشده آلوده می‌شوند (Ploch *et al.* 2011). اخیراً از ایران، *Tragopogon* گزارش شده و *P. persica* به عنوان گونه‌ای جدید توصیف شده است (Mirzaee *et al.* 2021).

جنس *Wilsoniana* میزبان‌هایی از Caryophyllales آلوده می‌کند. تاکنون گونه‌های مرکب *W. achyranthis* و *W. portulacae*, *W. platensis*, *W. bliti* Thines برای این جنس پیشنهاد شده است (Thines & Spring 2005, Choi *et al.* 2007).

ارگانیسم‌های قارچ مانند عوامل بیماری زنگ سفید گیاهان، متعلق به راسته Albuginales، به جز قاره جنوبگان در تمام نواحی دنیا یافت می‌شوند و تنها روی گیاهان گلدار بیماری ایجاد می‌کنند (Thines 2010). اعضای این راسته دامنه میزبانی وسیعی در نهاندانگان دولپه‌ای داشته، در حالی که روی گیاهان تک لپه تنها گونه *Albugo macalpineana* J. Walker & Priest روی میزبانی از جنس *Pterostylis* می‌شود (Walker & Priest 2007, Ploch *et al.* 2018). تا قبل از کاربرد روش‌های مولکولی، تمام گونه‌های عامل بیماری زنگ سفید گیاهان مشتمل بر حدود ۵۰ گونه، در جنس *Albugo* قرار داشتند (Vrandecic *et al.* 2011). ولی از سال ۲۰۰۵ قرار داشتند (Riethmüller 2006, Thines & Voglmayr 2009) بر اساس داده‌های حاصل از تجزیه و تحلیل فیلوژنتیکی و بررسی‌های ریخت‌شناسی اسپورانژیوم و الگوی سطوح اسپور، اعضای این راسته در سه جنس متمایز شامل Thines & Spring 2005, Thines 2010, Voglmayr & Fabales که روی میزبان‌هایی از *Albugo mauginii* بیماری‌زا است، دامنه میزبانی سایر گونه‌های این جنس محدود به Brassicales می‌باشد (Choi *et al.* 2011b). تا قبل از بازنگری رده‌بندی عوامل بیماری زنگ سفید توسط تینس و اسپرینگ (Thines & Spring 2005)، تصور می‌شد عامل این بیماری روی میزبان‌های تیره شب بوئیان (Brassicaceae) فقط گونه *A. candida* می‌باشد، ولی بر اساس مطالعات اخیر مبتنی بر تجزیه داده‌های مولکولی و ترئینات سطح اسپور چندین گونه میزبان اختصاصی شامل Choi (*A. voglmayrii*), Choi *et al.* 2007) *A. koreana*

پولادی و همکاران (Poladi *et al.* 2017b)، گونه *A. candida* را از میزبان های خاکشیر، تربچه، شاهی، شلغم و *Wilsoniana* روی اسفناج و *A. occidentalis* روی خرفه از خوزستان بر اساس خصوصیات *portulacae* ریخت شناسی در خلاصه مقالات سومین کنگره قارچ شناسی ایران گزارش کرده اند. گونه *Albugo* از (*Spinacea oleracea* L.) *occidentalis* روی اسفناج (Ebrahimi & Afzali 2000) بر اساس خصوصیات ریخت شناسی گزارش شده است، گرچه صفات اسپورانژ اولیه و ثانویه تشریح نشده است.

مواد و روش ها

جمع آوری نمونه ها و بررسی های میکروسکوپی

طی دوره زمانی ۱۳۹۶-۱۳۹۹، جهت مطالعه شبه قارچ های عامل بیماری زنگ سفید، نمونه برداری از میزبان های دارای عالیم بارز بیماری (شکل ۱) از مناطقی در شمال و شرق ایران انجام شد.

جهت بررسی های میکروسکوپی اندام های مختلف بیمارگرهای بیماری زنگ سفید در مطالعه حاضر، برش های نازکی از بافت های میزبان دارای جوش به کمک تیغ سترون به روش دستی تهیه شد و پس از خرد کردن، روی لام میکروسکوپی با محلول اسید لاتکیک - گلیسیرین بررسی شدند. اندازه اندام های مختلف نمونه های شبه قارچی از جمله طول و عرض هیف اسپورانژی، اسپورانژیوم های اولیه و ثانویه، طول و عرض الگونیوم و اسپور (در صورت تشکیل) تعیین شد. به منظور تعیین اندازه ساختارهای مورد نظر، در هر اسلاید به تعداد ۵۰-۳۰ مورد بررسی و اندازه گیری شد. ابعاد اندازه گیری

گروه متمایز فیلوژنتیکی که در برخی صفات مانند مکانیسم زادآوری با اعضا جنس های *Pustula* و *Wilsoniania* شباهت دارد، روی میزبان های از *Caryophyllales* باعث بیماری زنگ سفید می شود. این گروه هنوز به جنس *Albugo* اختصاص دارد و شامل نمونه های گونه *A. occidentalis* بیمارگر اسفناج، می شود (Thines & Spring 2005, Thines 2014, Voglmayr & Thines 2005, Thines & Spring 2005, Thines 2014, Voglmayr & Riethmüller 2006).

مطالعات محدودی در خصوص فیلوژنی شبه قارچ های عامل بیماری زنگ سفید وجود داشته و نمونه های زیادی از آن ها روی تیره های مختلف گیاهی هنوز بررسی نشده اند (Mirzaee *et al.* 2013, Thines 2014).

عامل زنگ سفید روی چند میزبان گیاهی از تیره شب بوئیان در ایران، تنها به عنوان گونه *A. candida* گزارش شده است. گونه های دیگری شامل *A. bliti*, *A. resedae*, *A. portulacae*, *A. occidentalis*, *ipomoeae* و *A. tragopogonis* نیز از سایر تیره های گیاهی بر اساس خصوصیات ریخت شناسی یا بیماری زائی روی تیره میزبان از ایران گزارش شده است (Ershad 2009). گونه *Erysimum crassicaule* به عنوان میزبان جدیدی برای گونه *A. candida* از ایران گزارش و بر اساس داده های مولکولی و ریخت شناسی اسپور تایید شده است (Mirzaee *et al.* 2009, Mirzaee *et al.* 2013). گونه *Strigosella arenosa* از ایران و اسپانیا روی *Strigosella brevipes* و از شرق ایران روی *africana* بر اساس ترکیبی از داده های مبتنی بر خصوصیات سطوح اسپور و توالی یابی ژنهای ITS و Cox2 توصیف شده است (Mirzaee *et al.* 2013). گونه *A. candida* به عنوان عامل بیماری زنگ سفید روی *Strigosella africana* قبلا از ایران گزارش شده است (Ershad 2009).



شکل ۱. علایم بیماری زنگ سفید روی میزبان‌های: a. *Erysimum crassicaule*, b. *Sisymbrium septulatum*, c. *Lepidium sativum*, d. *Portulaca sp.*, e. *Savignya parviflora*, f. *Camelina transcasica*

Fig 1. White blister rust symptoms on hosts: a. *Erysimum crassicaule*, b. *Sisymbrium septulatum*, c. *Lepidium sativum*, d. *Portulaca sp.*, e. *Savignya parviflora*, f. *Camelina transcasica*

توسط (Hirata & Takamatsu 1996) انجام شد. هر جوش شبه قارچ به میکروتیوب ۱/۵ میلی لیتری سترون حاوی ۲۰۰ میکرولیتر سوسپانسیون کلکس ۶ درصد منتقل شد. میکروتیوب‌ها به مدت حداقل ۶ ساعت در دمای ۵۶ درجه سلسیوس (درون انکوباتور) نگهداری شدند. سپس به مدت هفت دقیقه درون آب در حال جوشیدن قرار گرفته، پس از آن محتویات هر میکروتیوب به مدت پنج ثانیه توسط دستگاه ورتكس به آرامی یکنواخت شد. این مرحله بار دیگر تکرار شد. تمام محتویات درون میکروتیوب‌ها با سانتریفیوژ (اپندروف، آلمان) به مدت پنج دقیقه و ۱۳۰۰ دور در دقیقه رسوب داده شدند. محلول لایه فوقانی محتوی DNA به میکروتیوب سترون دیگر منتقل و تا انجام آزمون واکنش زنجیره‌ای پلیمراز (PCR) در دمای ۲۰ - درجه سلسیوس به مدت حداقل سه ماه نگهداری شد.

تکثیر قطعات ITS ریبوزومی شامل

شده به صورت اندازه میانگین‌ها و کسر و افروzen انحراف معیار از هر میانگین و حداقل و حداقل اندازه‌ها (داخل پراتنز) برای هر نمونه گزارش شده است. عکس برداری از ساختارهای شبه قارچی با استفاده از سیستم-های DIC میکروسکوپ الیمپوس مدل BX51 انجام شد. نمونه‌های بررسی شده از مناطق مختلف ایران پس از بررسی و تعیین نام در هرباریوم وزارت جهاد کشاورزی (IRAN...F) ثبت و نگهداری می‌شوند (جدول ۱).

اصطلاحات ارائه شده برای اندام‌های آرایه‌های مولد زنگ سفید توسط کنستانتنیسکو و تینس (Constantinescu & Thines 2006) در این مطالعه به کار گرفته شده است.

استخراج DNA ژنومی

استخراج DNA ژنومی با استفاده از Chelex بر اساس روش والش و همکاران (Walsh *et al.* 1991) اصلاح شده

جدول ۱. مشخصات گونه‌ها، نمونه‌ها و توالی‌های عامل زنگ سفید استفاده شده در مطالعه حاضر

Table 1. White blister rust species, specimens information and GenBank accession numbers for sequences obtained in this study

Species	Host	Herbarium number	Origin	GenBank accession no. cox2/ITS	
<i>Albugo arenosa</i>	<i>Strigosella brevipes</i>	FR0046021	Iran, Nehbandan	JN849501	JN849485
	<i>Strigosella africana</i>	FR0046011	Spain	JN849488	JN849472
	<i>S. africana</i>	FR0046019 ^T	Iran, Birjand	JN849492	-
		IRAN18012F	Iran, Mashhad	MW928684	-
	<i>Raphanus sativus,</i>	SMK 10614	Korea	AY927059	AY929841
		SMK19419	Korea	AY913801	-
	<i>Goldbachia laevigata</i>	IRAN17933F	Iran, Asadieh	MW820925	MW845812
		IRAN17963F	Iran, Birjand	MW820926	-
	<i>Sinapis arvensis</i>	IRAN17991F	Iran, Gorgan	MW820923	MW830377
	<i>Sisymbrium septulatum</i>	IRAN17968F	Iran, Khosf	MW820928	MW836779
<i>Albugo candida</i>	<i>Savignya parviflora</i>	IRAN17970F	Iran, Sistan	MW820929	MW836778
	<i>Sisymbrium altissimum</i>	IRAN17985F	Iran, Yush	MW928686	MW925125
	<i>Arabis alpina</i>	BP 54584	Romania	GU292086	GU292130
	<i>Raphanus sativus</i>	SMK10614	Korea	AY927059	AY929841
	<i>Raphanus sativus</i>	IRAN17941F	Iran, Neyshabur	MW820931	MW836754
	<i>Brassica juncea</i>	SMK15570	Korea	AY927046	AY929826
	<i>Isatis leuconeura</i>	IRAN18004F	Iran, Birjand	MW928685	MW845820
	<i>Capsella bursa-pastoris</i>	HOH-HUH505	Germany	GU292089	GU292132
		GLMF081434	?	KJ654156	-
	<i>Capsella</i> sp.	-	USA	AY286229	-
	<i>Eruca vesicaria</i>	G725	Montenegro	MH234579	-
	<i>Sisymbrium luteum</i>	SMK19086	Korea	AY913808	AY929844
	<i>Isatis emarginata</i>	FR0046090	Iran, Nehbandan	MF580756	MF580755
	<i>Eruca sativa</i>	IRAN17980F	Iran, Chenaran	MW820927	MW845814
	<i>Erophila verna</i>	BP74487	Romania	EU340140	-
	<i>Eruca sativa</i>	BPI184870	Pakistan	DQ418514	DQ418503
	<i>Erophila verna</i>	BP199990	Romania	KP684901	-
<i>Albugo koreana</i>	<i>Armoracia rusticana</i>	VPRI30454	Australia	GU292084	GU292126
	<i>Rapistrum rugosum</i>	DAR 53178	Australia	GU292101	GU292141
	<i>Erysimum crassicaule</i>	IRAN17928F	Iran, Ferdows	MW820924	-
	<i>Rorippa palustris</i>	KRAMF-000130	Poland	HQ377364	HQ377371
	<i>Camelina sativa</i>	HMUT2527	China	MW147150	MW135444
	<i>Camelina transcaspica</i>	IRANI7983F	Iran, Siahkal	MW820932	MW845815
	<i>Capsella bursa-pastoris</i>	SMK13752	Korea	AY927048	AY929829
<i>Albugo sp.</i>	<i>bursa-pastoris</i>	SMK 21090	Korea	DQ643940	DQ643912
		BPI 871286 ^T	Korea	AY927049	-
	<i>Erysimum cheiranthoides</i>	BP 74486	Romania	GU292096	GU292137
	<i>Alyssum caliacrae</i>	BPI199995	Romania	HQ377356	HQ377366
	<i>Alyssum montanum</i>	KRAM-F-000149	Poland	HQ377357	-
<i>Albugo leimonios</i>	<i>Barbarea vulgaris</i>	BPI184667	USA	HQ377358	HQ377367
		BPI184670	Ireland	HQ377359	-
		BPI748543	Germany	HQ377360	HQ377368
	<i>Lepidium apetalum</i>	SMK13747	Korea	AY927054	-
<i>Albugo hohenheimia</i>	<i>Cardamine pratensis</i>	G00110295	Switzerland	GU292123	GU292158
	<i>Cardamine pratensis</i>	KR 12323	Germany	GU292124	GU292159
<i>Albugo hohenheimia</i>	<i>Cardamine hirsuta</i>	DAR 30279	Tasmania	GU292115	GU292151
		-	Germany	GU292119	-

جدول ۱. ادامه

Table 1. Continued

Species	Host	Herbarium number	Origin	GenBank accession no. cox2/ITS
<i>Albugo lepidii</i>	<i>Lepidium sativum</i>	HOH-HUH965	Germany	GU292105 GU292145
	<i>Lepidium sativum</i>	IRAN17938F	Iran, Neyshabur	MW820933 MW845816
	<i>Lepidium sativum</i>	KNUH260	Turkey	MK067066 MK067078
	<i>Lepidium sativum</i>	IRAN17964F	Iran, Tabas	MW820935 MW845817
	<i>Lepidium affine</i>	HMUT 4175	China	MG010813 MG010815
	<i>Lepidium affine</i>	HMUT2901	China	MG010812 MG010814
	<i>Lepidium</i> sp.	TN8622	USA	GU292120 -
	<i>Lepidium</i> sp.	BP74488	UK	FJ468366 -
	<i>Lepidium latifolium</i>	NV-Reno	Romania	KM085008 -
<i>Albugo occidentalis</i>	<i>Spinacia oleracea</i>	KUSF30037	Turkey	MF991149 MF991148
	<i>S. oleracea</i>	Ao_001	Greece	KC676795 -
<i>Wilsoniana portulacae</i>	<i>Portulaca</i> sp.	IRAN17926F	Iran, Gorgan	MW820936 MW845818
	<i>Portulaca</i> sp.	IRAN18018F	Iran, Zabol	MW820937 MW845819
	<i>Portulaca oleracea</i>	AR164	Costa Rica	EU826105 -
<i>Wilsoniana bliti</i>	<i>Amaranthus viridis</i>	SMK18991	?	AY913806 DQ643921
	<i>Phytophytum vexans</i>	DAR76991	Australia	GU292161 -
	<i>Vitis vinifera</i>	STE-U6729	New Zealand	GU133486 GU133593

Sequences with numbers in bold were generated in current study. ^T type specimens.

استخراج و ذخیره شدن. رجبندهای توالیها با استفاده از نرم افزار 7 MAFFT version (G-INS-i) انجام شد (Katoh *et al.* 2019). ارزیابی ترکیب‌پذیری داده‌های مربوط به دو ناحیه مختلف ژنومی ITS و Cox2 برای ترسیم درخت فیلوزنیکی، با استفاده از آزمون PHT (Partition homogeneity test) اجرا شده در نرم افزار PAUP4, beta 10 با ۱۰۰۰ تکرار تصادفی از روش Farris *et al.* (heuristic) انجام شد (Swofford 2002).

درخت فیلوزنیکی با استفاده از روش‌های حداقل تکامل (Minimum Evolution) با نرم افزار MEGA 5 (Tamura *et al.* 2011) بر اساس مدل Tamura-Nei با ۱۰۰۰ تکرار حمایت بوت استرپ و بیشینه احتمال (Maximum Likelihood) با استفاده از نرم افزار Stamatakis (2014) RAxML v8 و GTRGAMMA ۱۰۰۰ تکرار بوت استرپ اجرا شده

ITS1، قطعه ITS2 و ۵.8S با استفاده از آغازگرهای Moncalvo *et al.* 1995, Cooke DC6/ LR-0 اختصاصی (et al. 2000) انجام شد، واکنش semi-nested با آغازگرهای ITS1-O/LR-0 ادامه پیدا کرد (Ploch *et al.* 2010) جهت تکثیر ناحیه ژنی میتوکندریائی Cox2 از Hudspeth *et al.* استفاده شد (Cox2f/Cox2r) (2000). واکنش PCR شامل برنامه‌های حرارتی و تعداد چرخه‌ها، جهت تکثیر نواحی ژنی، براساس روش چوئی و همکاران (Choi *et al.* 2007) در دستگاه ترموسایکلر مدل BIO-RAD (ساخت آمریکا) انجام شد.

پس از مقایسه توالی‌های نوکلئوتیدی حاصل از کروماتوگرام‌ها برای هر ژن با استفاده از ابزار جستجوی BLAST (Altschul *et al.* 1990) اجرا شده در <https://www.ncbi.nlm.nih.gov/>، توالی‌های نمونه‌های با شباهت بالا به استناد انتشار در نشریات معتبر برای رج‌بندی و مراحل بعدی اجرای برنامه‌های فیلوزنیکی

ارائه می‌شود. نمونه‌هایی که قبلاً از ایران و دنیا تنها بر اساس نوع میزبان به جنس *Albugo* منسوب شده بودند، در این مطالعه شناسائی آنها بر اساس خصوصیات ریخت‌شناسی و مولکولی بازنگری یا تایید شد.

با توجه به این که گونه‌های *Albugo arenosa* و *Albugo candida* قبل از شرح داده یا توصیف شده‌اند، به میزبان‌ها و پراکنش آنها اکتفا می‌شود. از این‌رو، گونه‌های *A. lepidii* و *A. koreana* که برای ایران جدید می‌باشند و گونه‌های دیگری که شرح کامل آنها با تأکید بر مفاهیم اسپورانژیوم اولیه و ثانویه و اسپور در دسترس نبوده یا مصور نمی‌باشد، بر اساس خصوصیات ریخت‌شناسی با ترکیب داده‌های مولکولی شرح داده می‌شوند.

ترکیب داده‌های مولکولی و تزئینات سطح اسپور در تعیین حدود و ثغور و توصیف گونه‌های جدید گونه‌های جنس‌های *Albugo* و *Pustula*، به کار گرفته شده است (Voglmayr & Riethmuller 2006).

علاوه بر این، در تحقیق حاضر، صفات اسپورانژیوم اولیه و ثانویه و اسپور در شناسائی گونه‌های بررسی شده مورد استفاده قرار گرفته (شکل‌های ۳-۲) و با منابع معتبر مقایسه شده است.

بر اساس نتیجه آزمون PHT (Partition homogeneity test)، ناسازگاری بین داده‌های *Cox2* و *ITS* ($P=0.25$) وجود نداشته، داده‌ها جهت ترسیم درخت فیلوژنتیکی ترکیب شدند. بر اساس نتایج تجزیه فیلوژنتیکی داده‌های *Cox2* و *ITS*، نمونه‌های *Albugo candida* روی میزبان‌های مختلف شرح داده شده در این تحقیق در کنار نمونه‌های *A. candida* روی *Brassicaceae* درون یک کlad با حمایت بوت استرپ ۹۱ درصد (ME) هم جوار با دودمانی مجزا شامل نمونه‌های منسوب به این گونه روی

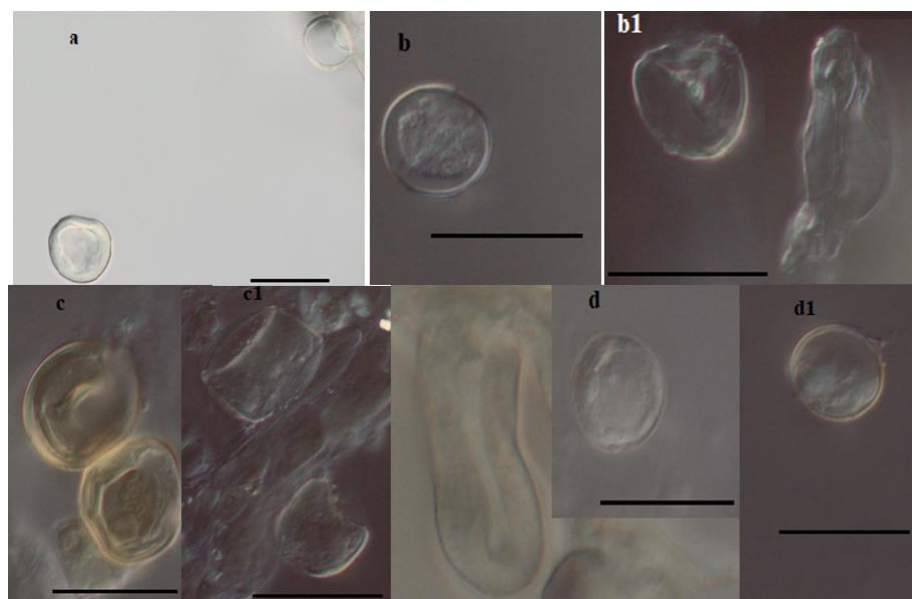
در TrEase webserver (<http://thineslab.senckenberg.de/trease/>). ترسیم گردید (Mirzaee et al. 2013, Buaya & Thines 2020, Mishra et al. 2020). گونه *Phytophytium vexans* (unpublished) گروه خارجی (outgroup) انتخاب شد.

با توجه به این که برای برخی نمونه‌ها تنها توالی ژن Cox2 در بانک ژن NCBI موجود بود یا در مورد تعدادی از نمونه‌های این مطالعه توالی همین ژن وجود داشت، علاوه بر تجزیه فیلوژنتیکی مبتنی بر دو ژن، ماتریس رج‌بندی شده توالی این ژن نیز به صورت جداگانه ایجاد شد و تجزیه فیلوژنتیکی مطابق روش قبلی ادامه پیدا کرد. در برخی از مطالعات قبلی نیز گروه‌بندی این شبه قارچ‌ها بر اساس تجزیه فیلوژنتیکی مبتنی بر توالی‌های Choi et al. 2009, Choi et al. (2011b).

نتایج و بحث

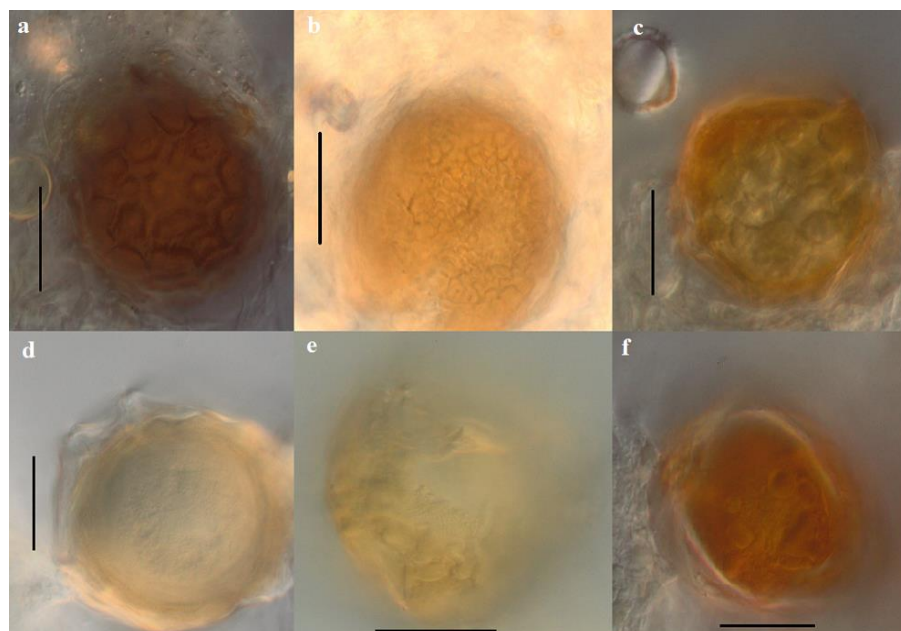
طی نمونه برداری‌های انجام شده بین سال‌های ۱۳۹۶-۱۳۹۹ از مناطق شرقی و شمالی کشور تعداد ۲۱ نمونه جمع آوری، بر اساس دامنه میزبانی، ریخت‌شناسی ساختارهای شبه قارچی و نیز داده‌های مولکولی شناسائی شد. بر اساس داده‌های مولکولی و ریخت‌شناسی برای گونه *Albugo candida* میزبان‌های جدید برای ایران یا دنیا شناسائی شد. آرایه‌های *A. lepidii* و *A. koreana* برای *Albugo* قارچی ایران جدید می‌باشند و برای *Wilsoniana portulacae* (DC.) و *occidentalis* Wilson ضمن توصیف صفات ریخت‌شناسی، اطلاعات جدیدی در ادامه ارایه می‌شود. گرچه برای گونه *Albugo occidentalis* گزارش‌هایی در دنیا وجود دارد ولی توصیف گونه بر اساس مفاهیم اسپورانژیوم اولیه و ثانویه

میزبان‌های اسپورانژیومی آرایه‌های مختلف عامل زنگ‌سفید در مطالعه حاضر



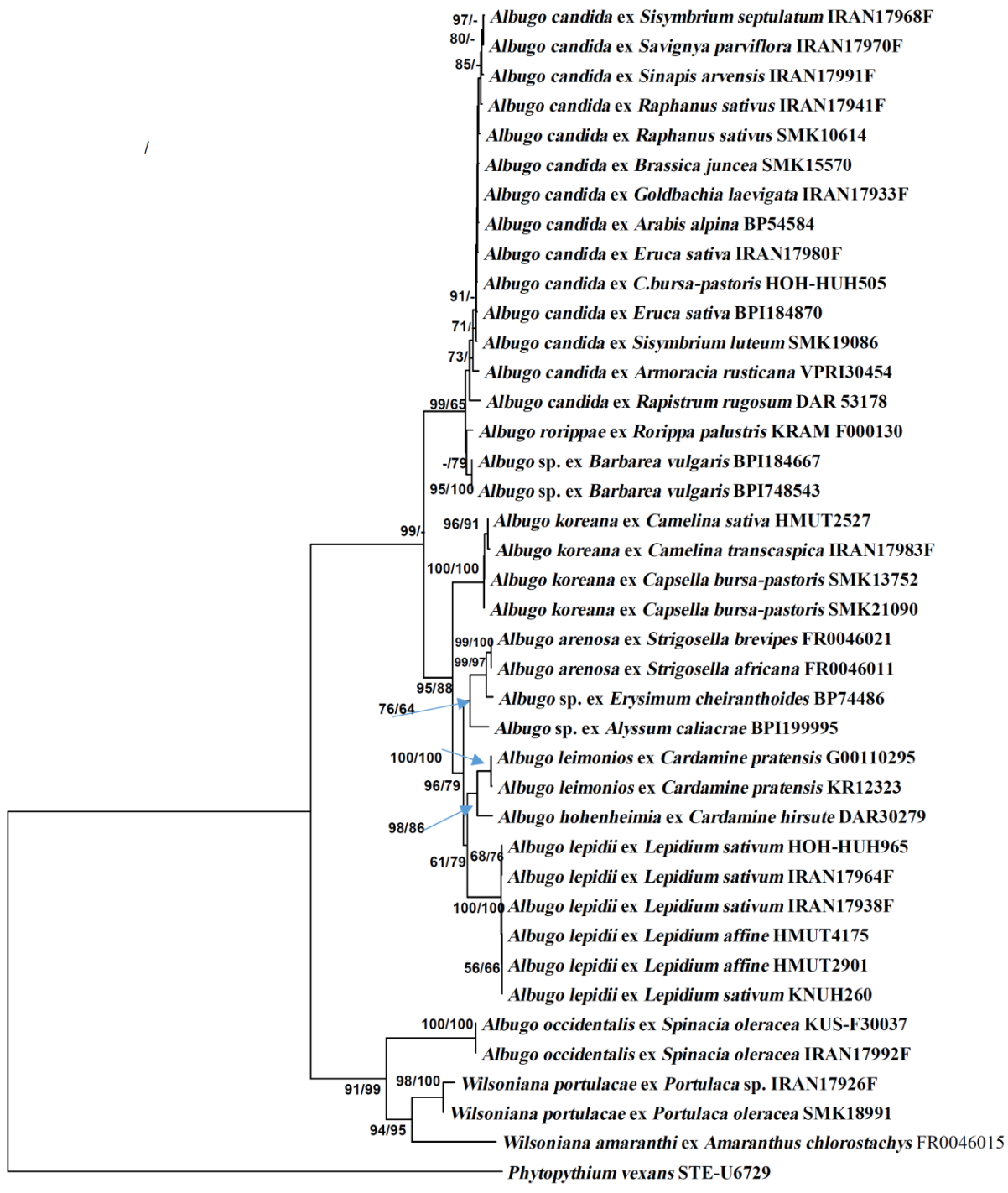
شکل ۲. مقایسه ساختارهای اسپورانژیومی آرایه‌های مختلف عامل زنگ‌سفید در مطالعه حاضر: a. اسپورانژیوم اولیه و ثانویه *Albugo occidentalis*, b. اسپورانژیوم اولیه- b1. اسپورانژیوم ثانویه و هیف اسپورانژی *Albugo lepidii*, c. اسپورانژیوم اولیه- c1. اسپورانژیوم ثانویه- d. اسپورانژیوم اولیه و هیف اسپورانژی- d1. اسپورانژیوم ثانویه *Albugo koreana* (مقیاس = ۲۵ میکرومتر).

Fig 2. Comparison of sporangia in white blister rust taxa in current study: a. Primary and secondary sporangia of *Albugo occidentalis*, b. Primary-b1. secondary sporangia of *Albugo lepidii*, c. primary- c1. secondary sporangia of *Wilsoniana portulacae*, d. Sporogenous hyphae and primary sporangia- d1. secondary sporangia of *Albugo koreana* (Bar = 25 μm).



شکل ۳. خصوصیات سطوح اسپور آرایه‌های مختلف عامل زنگ‌سفید در: a. اسپور *Albugo* .b .*Wilsoniana portulacae* .c .*A. koreana* .d .*A. candida* .e .*A. arenosa* .f .*A. lepidii* .g .*A. occidentalis* (مقیاس = ۲۵ میکرومتر).

Fig. 3. Oospore characterisites of white blister rust taxa in current study: a. *Wilsoniana portulacae*, b. *Albugo occidentalis*, c. *A. lepidii*, d. *A. arenosa*, e. *A. candida*, f. *A. koreana* (Bar = 25 μ m).



شکل ۴. فیلوژنی حداقل تکامل و بیشینه درست‌نمایی مبتنی بر ترکیب توالی نواحی ژنی ITS و Cox2 نمونه‌های زنگ سفید ریشه‌یابی شده با (جدا از *Phytopythium vexans* (STE-U6729).

Fig. 4. Phylogeny (ME and ML) based on concatenated sequences of cox2 and ITS for white blister rust specimens rooted with *Phytopythium vexans* (STE-U6729).

حداقل تکامل (۹۸/۹۸) را تشکیل دادند (شکل ۵). گونه *Albugo arenosa* برای اولین بار از خراسان رضوی گزارش می‌شود.

***Albugo candida* (Pers. ex J.F.Gmel.) Roussel**

نمونه‌های بررسی شده: روی برگ *Eruca Mill.*، خراسان رضوی، چناران، باغمچ، *sativa* (منداب)، خراسان رضوی، چناران، باغمچ، ۱۳۹۸/۰۲/۱۱، جمع آوری کننده: میرزائی (شماره ثبت *Goldbachia laevigata* (IRAN17980F). - روی برگ (DC. ناخنک)، خراسان جنوبی، قائن (آفریز)، ۱۳۹۲/۰۱/۱۲، جمع آوری کننده: میرزائی (شماره ثبت (IRAN18015F) - خراسان جنوبی، اسدیه (اشک)، ۱۳۹۶/۰۲/۱۲، جمع آوری کننده: میرزائی (شماره ثبت *Isatis leuconeura* Boiss. (IRAN17933F). - روی برگ Buhse &, کیلومتر ۴۵ جاده بیرجند- Zahidan، ۱۳۹۸/۰۲/۱۱، جمع آوری کننده: میرزائی (شماره ثبت *Raphanus sativus* L. (IRAN18004F). - روی برگ (تریچه)، خراسان رضوی، نیشابور، ۱۳۹۷/۰۷/۰۹، جمع آوری کننده: میرزائی (شماره ثبت (IRAN17941F ساری، ۱۳۹۸/۰۳/۰۱، جمع آوری کننده: مجید الداغی (شماره ثبت (IRAN17979F). - روی برگ و ساقه - *Savignya parviflora* (Delile) Webb سیستان، کیلومتر ۴۰ جاده زابل- بندان، ۱۳۹۸/۰۲/۱۳، جمع آوری کننده: میرزائی (شماره ثبت (IRAN17970F. - گرگان (تخشی محله)، ۱۳۹۷/۰۲/۲۴، جمع آوری کننده: سیروس کلاسندگانی- فائزه علی آبادی (شماره ثبت *Sisymbrium altissimum* (IRAN17943F. - روی برگ L. (خاکشیر وحشی)، مازندران، یوش (اوزرس)،

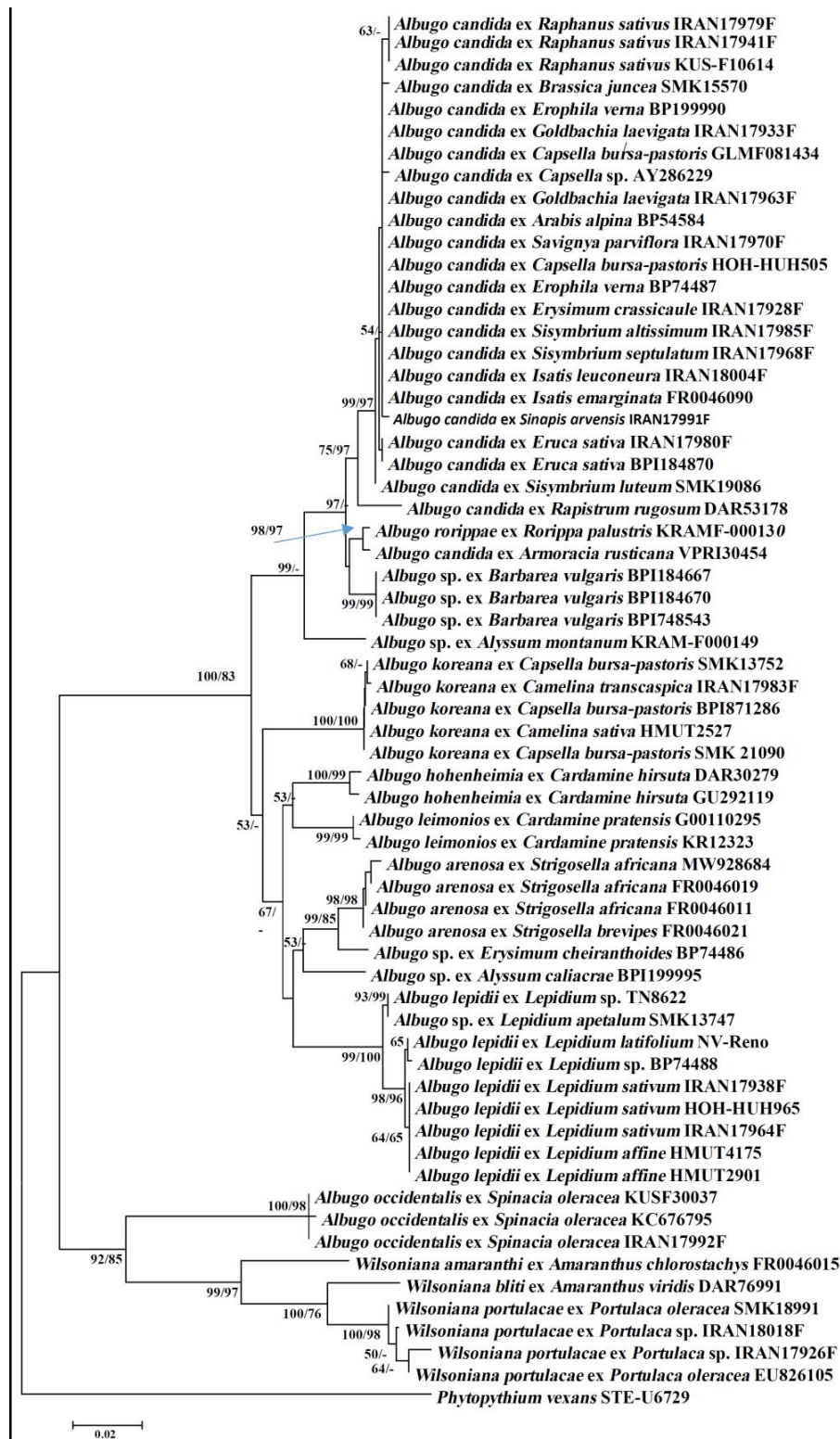
قرار *Armoracia rusticana* و *Rapistrum rugosum* گرفتند که در مجموع با گونه اختصاصی *Albugo rorippae* و نمونه توصیف نشده روی ۹۹/۶۵ *vulgaris* کladی با حمایت بوتاسترپی (ME/ML) تشکیل دادند (شکل ۴). احتمالاً نمونه‌های *Rapistrum rugosum* و *Albugo rusticana* نیز گونه‌های جدیدی از باشند که توصیف آنها نیازمند بررسی‌های بیشتر است (Ploch et al. 2010).

***Albugo arenosa* Mirzaee & Thines**

نمونه‌های بررسی شده: روی برگ (L.) Botsch. *Strigosella africana* خراسان جنوبی، بیرجند (منطقه مود)، ۱۳۹۷/۰۱/۰۵، جمع آوری کننده: میرزائی (شماره ثبت (IRAN17998F) - خراسان رضوی، سبزوار، ۱۳۹۷/۰۱/۱۲، جمع آوری کننده: میرزائی (شماره ثبت (IRAN18007F) - خراسان رضوی، مشهد- مسیر سد کارده (خین عرب)، ۱۳۹۷/۰۱/۱۲، جمع آوری کننده: میرزائی (شماره ثبت (IRAN18012F).

این گونه قبل از روی میزبان *Strigosella africana* از خراسان جنوبی (قائن و بیرجند) و اسپانیا و روی *Strigosella brevipes* از نهیندان خراسان جنوبی توصیف شده است (Mirzaee et al. 2013). در فهرست قارچ‌های گزارش شده از ایران توسط ارشاد (Ershad 2009)، *Strigosella africana* روی *A. candida* (= *Malcolmia africana*) گونه گزارش شده است. در مطالعه فیلوجنتیکی ماتریس توالی‌های Cox2، نمونه *A. arenosa* IRAN18012F کladی مجزا همراه نمونه‌های *A. arenosa* با حمایت بالای بوت استرپی در روش حداقل احتمال و

۱۳۹۸/۳/۲، جمع آوری کننده: میرزائی (شماره ثبت Sisymbrium septulatum (IRAN17985F). - روی برگ)



شکل ۵. فیلوژنی حداقل تکامل و بیشینه درستنمایی مبتنی بر توالی یابی ژن Cox2 زنگ سفید ریشه یابی شده با *Phytophytum vexans* (STE-U6729) (جداهه ۵).

Fig. 5. Cox2-based ME/ML phylogeny of white blister rust specimens rooted with *Phytophytum vexans* (STE-

U6729).

ریخت شناسی تایید کننده *A. candida* روی میزبان خاکشیر وحشی برای ایران و گزارش‌های قبلی در دنیا بوده، ولی روی میزبان دیگر از این جنس برای دنیا جدید است.

گزارش *Albugo candida* روی منداب (*Eruca sativa*) در دنیا محدود به استرالیا، آرژانتین، بربادیل و پاکستان است (Farr & Rossman 2021). بر اساس گزارش‌های اخیر، این بیمارگر روی منداب از مونته نگرو و آفریقای جنوبی بر اساس داده‌های مولکولی و ریخت شناسی گزارش شده ولی فرم جنسی آن یافت نشده است (Latinovic *et al.* 2019, Mangwende *et al.* 2015). بر اساس مطالعه حاضر، بر اساس توالی یابی ژنومی و صفات ریخت‌شناسی گونه *A. candida* همراه با فرم جنسی از ایران روی منداب گزارش می‌شود. از ایران، منداب توسط ابراهیمی و میناسیان از خوزستان (نقل از 2009 Ershad 2009) به عنوان میزبان آن گزارش شده است. گرچه شناسائی آن بر اساس دامنه میزبانی بیمارگر با مفهوم گونه عمومی *Albugo candida* بوده است.

روی میزبان ناخنک (*Goldbachia laevigata*). گونه *A. candida* از آسیای میانه گزارش شده است (Farr & Rossman 2021). در ایران از کرج توسط اسفندیاری در سال ۱۹۴۶ گزارش شده است (نقل از 2009 Ershad 2009). این اولین تایید گزارش *A. candida* روی میزبان *G. laevigata* از ایران و دنیا بر اساس صفات ریخت‌شناسی و مولکولی است.

روی میزبان تربچه گزارش‌های متعددی از *A. candida* در سرتاسر جهان وجود دارد (Biga 1955; Farr & Rossman 2021)، از ایران از خوزستان، نواحی خزر و تهران گزارش شده است (Ershad 2009). اخیراً، پولادی و

DC. (خاکشیر تلخ)، خراسان جنوبی، بیргند (محمدیه)، ۱۳۹۸/۱/۱۴، جمع آوری کننده: میرزائی (شماره ثبت (IRAN17968F).

در بانک اطلاعاتی کلکسیون ملی قارچ‌های ایالات متحده آمریکا (Farr & Rossman 2021) روی میزبان *Savignya parviflora* گزارشی از عراق (۱۹۶۲) و روی گونه *Savignya longistyla* از الجزایر (فهرست قارچ‌های الجزایر، Amrani & Abdel-Azeem 2018) برای این آرایه وجود دارد. بنابراین بر اساس خصوصیات ریخت‌شناسی و آنالیز تبارزائی گزارش *Albugo candida* روی این میزبان برای دنیا تایید می‌شود، این اولین گزارش از بیمارگر روی این میزبان و گزارش اولین بیماری روی جنس در ایران است. بیمارگر روی *Sinapis* sp. از اردبیل گزارش شده است (Ershad 2009). بر اساس بانک اطلاعاتی کلکسیون ملی قارچ‌های ایالات متحده آمریکا (Farr & Rossman 2021) از سوئد (۱۹۳۷)، کاستاریکا (۱۸۹۵)، سوئیس (۱۹۱۱)، رومانی (۱۹۲۶)، آلمان (۱۹۰۴) و کانادا روی این میزبان گزارش‌هایی موجود است (Warwick *et al.* 2000). این اولین گزارش از تایید مولکولی وجود این گونه روی خردل وحشی برای دنیا و گزارش جدید میزبانی برای ایران است.

گزارشی از بیمارگر روی *S. septulatum* DC در دنیا موجود نیست (Farr & Rossman 2021). خاکشیر وحشی از ایران (همدان و کرج) به عنوان میزبان آن گزارش شده است (Ershad 2009).

روی میزبان خاکشیر وحشی، علاوه بر *A. candida* از آمریکا، در برخی مناطق در قاره اروپا، کانادا و نیوزیلند، با نام *Albugo cruciferarum* نیز گزارش‌هایی وجود دارد. نتایج مطالعه حاضر مبنی بر توالی یابی ژنومی و داده‌های

ارائه شده است. در حالی که بر اساس ترکیب داده های مولکولی و ریخت شناسی گاهی یک جنس میزان میزبان در این تیره گیاهی با سه گونه اختصاصی متمایز از یکدیگر و از *A. candida* آنوده می شود (Ploch *et al.* 2010). از گونه *A. candida* آنوده می شود (Mirzaee *et al.* 2013) که با نتایج بررسی های این مطالعه نیز مطابقت دارد (شکل ۶).

مقایسه مورفومتری نمونه های مختلف آرایه روی میزان های شرح داده شده در جدول ۲ صورت گرفته است.

Albugo koreana Y.J. Choi, Thines & H.D. Shin

نمونه بررسی شده: روی برگ *Camelina transcasica* Fritsch ۱۳۹۸/۰۳/۰۴، جمع آوری کننده: میرزائی (شماره ثبت ۱۷۹۸۳F).

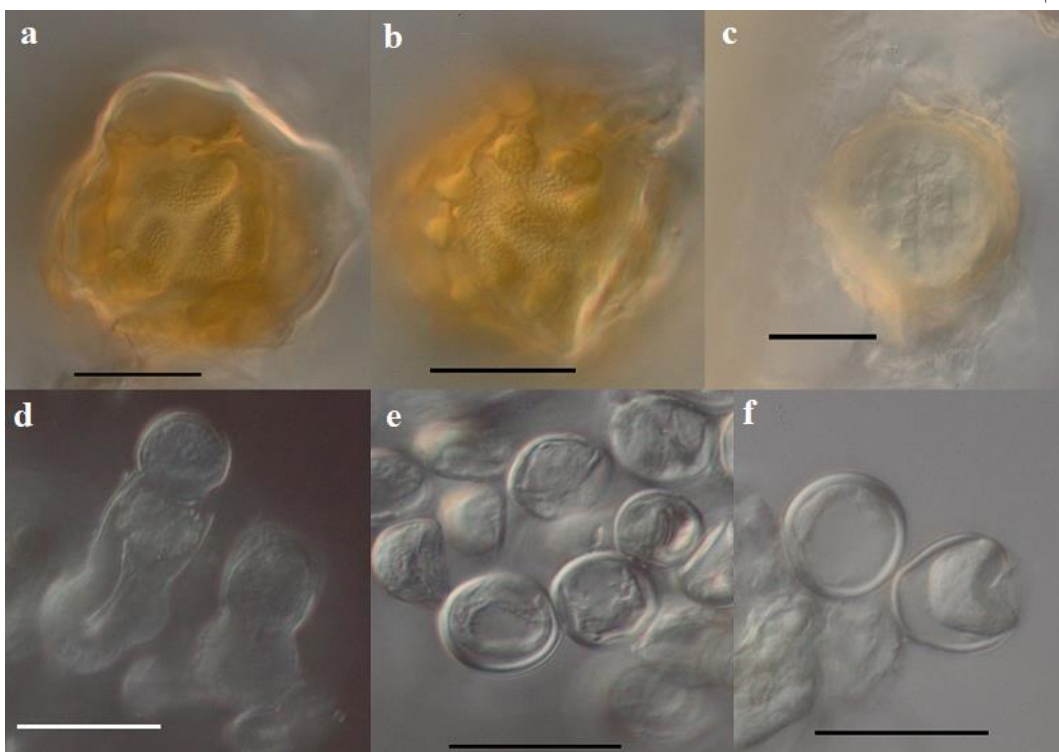
جوش ها سفید رنگ، گرد تا نامنظم، با ابعاد ۳-۱ میلی متر، روی سطوح بالاتی و پائینی برگ ها تشکیل می شوند و در سمت مقابل برگ ایجاد لکه های زرد می نمایند. میسلیوم بین سلولی، هیف اسپورانژی (اسپورانژیوم بر) بی رنگ، چماقی تا استوانه ای شکل، در برخی دارای خمیدگی، اغلب گروهی و با ابعاد $۱۵-۵ \times ۱۲-۵ \times ۴-۲$ میکرومتر تشکیل می شود. اسپورانژیوم ها بی رنگ، گرد و در زنجیره تشکیل می شوند، اسپورانژیوم های اولیه شبیه ثانویه با دیواره ضخیم تر هستند، ابعاد اسپورانژیوم های اولیه $۱۷-۵ \times ۱۷-۵$ و میانگین $۱۴-۶$ میکرومتر و ابعاد $۱۲-۵ \times ۱۲-۶$

همکاران (Poladi *et al.* 2017b) بر اساس خصوصیات ریخت شناسی این گیاه را به عنوان میزان بیمارگر گزارش نموده ولی شرح آن در دسترس نمی باشد. از این رو آرایه *A. candida* روی تربچه در ایران بر اساس ترکیب خصوصیات ریخت شناسی و مولکولی تایید می شود. بر اساس تجزیه های فیلوزنتیکی متنی بر توالی های Cox2، نمونه های بیمارگر روی تربچه دارای تنوع ژنتیکی بوده که در کلاد نمونه های *A. candida* در زیر گروهی با حمایت بوت استرپ تایید نشده در روش حداقل احتمال قرار می گیرند (شکل ۵). این تنوع در مطالعه چویی و همکاران (Choi *et al.* 2006) نیز نشان داده شده است و نمونه های بیمارگر تربچه به عنوان گونه گزارش شده است. بر اساس نتایج چویی و همکاران (Choi *et al.* 2007) بیمارگر روی تربچه مشابه سایر جدایه های این گونه روی میزان های دیگر است.

گزارشی از این شبه قارچ روی *Isatis leuconeura* در دنیا به جز ایران وجود ندارد (Farr & Rossman 2021). در مجموعه قارچ های ایران، ارشاد (Ershad 2009)، از آبعلی گزارش داده است. بنابراین بر اساس نتایج مطالعه حاضر، گونه *A. candida* روی این میزان بر اساس داده های مولکولی و صفات ریخت شناسی تایید می شود. از ایران، این گونه روی میزان های *Isatis emarginata* و *Capsella bursa-pastoris* (بر اساس کیسه کشیش) بر اساس خصوصیات ریخت شناسی و توالی یابی ژن های ITS و Cox2 تایید شده است (Mirzaee & Sajedi 2015, Mirzaee *et al.* 2018).

بر اساس مجموعه قارچ های ایران (Ershad 2009)، تنها گونه گزارش شده از ایران روی تیره Brassicaceae است که عمدتاً بر مبنای نوع میزان *Albugo candida*

میانگین ۱۴/۴ میکرومتر اندازه‌گیری شد. اسپور قهوه‌ای اسپورانژیوم‌های ثانویه (۱۷/۵-۱۶/۱-۱۲/۵) و



شکل ۶. a-c. *Albugo candida*. a-c. تنوع تزئینات سطوح اسپور .c. *Sisymbrium altissimum* .b. *Erysimum* sp. a. روی میزبان .d. هیف اسپورانژی .e. اسپورانژیوم اولیه f. اسپورانژیوم اولیه و ثانویه (مقیاس = ۲۵ میکرومتر).

Fig. 6. *Albugo candida*: a-c. Variation of oospore surface ornamentation (*A. candida* ex *Erysimum* sp., *A. candida* ex *Sisymbrium altissimum*, *A. candida* ex *Eruca sativa*), d. sporogenous hyphae, e. primary sporangia, f. primary and secondary sporangia (Bar = 25 μ m).

برخلاف *A. candida koreana* دارای برآمدگی‌های بدون Choi et al. مرز و ناهم پیوسته با آرایش جداگانه است (2007). متغیر بودن یا تنوع الگوی سطوح اسپور در *A. candida arenosa* و *Albugo candida tropica* نمونه‌های مختلف (Mirzaee et al. 2013, Ploch et al. 2018) نیز گزارش شده است.

بر اساس تجزیه‌های فیلوزنتیکی، نمونه‌های بیمارگر روی میزبان‌های *Camelina* و *Capsella bursa-pastoris* spp. در کلاد مجزا متعلق به گونه *Albugo koreana* با حمایت حداقل بوت استرپی ۱۰۰/۱۰۰ (ME/ML) هم گروه شدند (شکل‌های ۴ و ۵). نتایج رج‌بندی توالی‌های

روشن تا تیره، گرد، سطح آن صاف تا دارای برآمدگی‌های گرد و بدون انشعاب، و با ابعاد (۳۶/۱-۴۵/۵)-(۳۲/۵-۴۰/۸) میکرومتر تولید می‌شوند. ابعاد اگونیوم ۶۷/۵ - ۵۰ میکرومتر است.

دامنه ابعاد اسپورانژیوم و اسپور نمونه IRAN17983F با نمونه توصیف شده توسط چوبی و همکاران (Choi et al 2007) از کره جنوبی، و ابعاد اسپورانژیوم ثانویه از اسپور در مطالعه یانگ و همکاران (Yang et al. 2021) از چین مطابقت دارد ولی ابعاد اسپورانژیوم اولیه نمونه مطالعه کنونی بزرگتر از نمونه آرایه گزارش شده توسط یانگ و همکاران (Yang et al. 2021) است. سطوح اسپور *Albugo*

کامل در نوکلئوتیدهای دو نمونه IRAN17983F و نمونه

حاصل از تکثیر ناحیه Cox2 و ITS نشان داد، شباهت

جدول ۲. مقایسه ریخت شناسی نمونه های *Albugo candida*Table 2. Morphological comparison of *Albugo candida* specimens

Species	Host	Reference	Primary sporangia (μm)	Secondary sporangia (μm)	Oospore (μm)
<i>Albugo candida</i>	<i>Capsella bursa-pastoris</i>	Thines et al. 2009	-	-	(42.5)-47.9-57.6(-62.5) (av. 51.8)
	<i>C. bursa-pastoris</i>	Mirzaee and Sajedi 2015	12-14	11-19	-
	<i>Eruca</i> sp.	Thines et al. 2009	-	-	(37.5)-43.8-52.1(-57.5) (av. 48)
	<i>Erysimum crassicaule</i>	This study	(12)-13.9-16.7(-17.5) (av. 15.3)	(14)-14.4-17.2(-17.5) (av. 15.8)	(40)-43.3-54.7(-57.5) (av. 48.9)
	<i>Goldbachia laevigata</i>	This study	(12.5)-13.9-17.5(-20) (av. 15.7)	(12.5)-14-17.8(-20) (av. 15.9)	-
	<i>Savignya parviflora</i>	This study	(12.5)-13.3-16.9(-19) (av. 15.1)	(12.5)-14-17.2(-20) (av. 15.6)	-
	<i>Raphanus sativus</i>	This study	(12.5)-14.6-18.4(-20) (av. 16.5)	(16)-17.1-20.9(-22.5) (av. 19)	-
	<i>Sinapis arvensis</i>	This study	(12.5)-14.2-17.4(-17.5) (av. 15.8)	(12.5)-13.7-18.7(-22.5) (av. 16.2)	(37.5)-42.8-50.2(-52.5) (av. 46.5)
	<i>Isatis leuconeura</i>	This study	(11)-14.2-12.8(-17.5) (av. 14.5)	(12.5)-14.1-17(-17.5) (av. 15.6)	r
	<i>Sisymbrium altissimum</i>	This study	(12.5)-14.7-17.7(-17.5) (av. 16.2)	(12.5)-13.8-18.2(-21.5) (av. 15.9)	-
	<i>Eruca sativa</i>	This study	(12.5)-14.8-18.8(-21.5) (av. 16.8)	(12.5)-14.7-18.7(-20) (av. 16.7)	(42.5)-43.6-52(-55) (av. 47.8)

r: rarely found

گسترش قارچ ها یا شبے قارچ های بیوتروف مانند عوامل بیماری زنگ سفید روی میزبان های دیگر می شود (Choi et al. 2011b). از این رو گسترش مطالعات مولکولی با توالی یابی ژن های بیشتر و بررسی دامنه میزبانی وسیع تر از مناطق جغرافیائی متنوع جهت روشن شدن حدود و ثغور گونه در مورد این تاکسون مورد نیاز است.

Albugo lepidii Rao

نمونه بررسی شده: روی برگ *Lepidium sativum* خراسان جنوبی، طبس (کریت)، ۱۳۹۷/۰۱/۱۲، جمع آوری کننده: میرزائی (شماره ثبت IRAN17964F) - روی برگ

گزارش شده از چین (*A. koreana*) وجود دارد، و با نمونه های بیمارگر میزبان *C. bursa-pastoris* در سه نوکلئوتید تفاوت داشته و دو نمونه بیمارگر میزبان کیسه کشیش از کره جنوبی نیز در یک جایگاه نوکلئوتیدی با یکدیگر تفاوت دارند. چنین تفاوت هایی در کلادهای گونه های اختصاصی *Albugo leimonios* روی *C. hohenheimia* و *A. pratensis* نیز وجود دارد (Ploch et al. 2010). وجود تفاوت های نوکلئوتیدی در برخی گونه ها نظیر *A. lepidii* به معنی گروه بندی آنها به عنوان تاکسون جدید نیست (Choi et al. 2009, Choi et al. 2011a). پرش میزبانی موجب

روی میزبان *A. lepidii* (2018, Soylu *et al.* 2019) گونه *Lepidium sativum* از ترکیه بر اساس خصوصیات ریخت شناسی و مولکولی مبتنی بر توالی یابی نواحی ژنی Cox2 و rDNA و گونه *A. candida* روی *L. latifolium* بر اساس خصوصیات ریخت‌شناسی و مولکولی مبتنی بر توالی یابی Koike *et al.* ناحیه rDNA از آمریکا گزارش شده است (2011, Soylu *et al.* 2019).

تا قبیل از کاربرد داده‌های مولکولی در رده‌بندی این شبه قارچها، عامل بیماری روی میزبان‌های تیره Brassicaceae، گونه *Albugo candida* تلقی می‌شد. چویی و پریست (Choi & Priest 1995) گونه *Albugo lepidii* ذکر کردند. بر اساس داده‌های مولکولی و بررسی ریخت‌شناسی اسپور، نمونه‌های *Albugo candida* دارای تنوع بالای ژنتیکی و خصوصیات متمایز اسپور گزارش شده و نام گونه *Albugo lepidii* نیز بازیابی شده و به عنوان گونه‌ای مستقل و اختصاصی میزبان‌های متعلق به میزبان‌های جنس *Lepidium* (Thines *et al.* 2009, Ploch *et al.* 2007, Choi *et al.* 2007) یافته است.

در مقایسه با نمونه گزارش شده از ترکیه (Soylu *et al.* 2019)، ابعاد اسپوراتزیوم‌های ثانویه مشابه بوده است، ولی اندازه بزرگترین طول اسپوراتزیوم نمونه IRAN17964F از نمونه گزارش شده از ترکیه بیشتر است. در مورد نمونه ترکیه‌ای اندام اسپور مشاهده نشده است. ابعاد اسپوراتزیوم‌ها در نمونه IRAN17964F با نمونه گزارش شده از چین (Zhang *et al.* 2018) تطابق دارد، ابعاد اسپور نیز با در نظر گرفتن انحراف معیار ابعاد یکسان دارد. از نظر ترتیبات سطوح اسپور، الگوی کلی نمونه با نمونه چینی و الگوی ارائه شده در (Choi *et al.* 2011) مشابه است (شکل ۳) ولی توزیع برآمدگی‌ها در سطوح نمونه چینی منظم‌تر

از Lepidium sativum مازندران، ساری، ۱۳۹۶/۱۱/۱۲، جمع‌آوری کننده: مجید الداغی (شماره ثبت IRAN17965F) - روی برگ *Lepidium sativum* خراسان رضوی، نیشابور، ۱۳۹۷/۰۲/۱۱، جمع‌آوری کننده: میرزائی (شماره ثبت IRAN17938F) - روی برگ *Lepidium sativum* خراسان جنوبی، طبس (دشت قران)، ۱۳۹۸/۰۱/۲۳، جمع‌آوری کننده: میرزائی (شماره ثبت IRAN17996F) - زابل - روی برگ *Lepidium sativum* ۱۳۹۸/۰۹/۱۰، جمع‌آوری کننده: پیرنیا (شماره ثبت IRAN18019F).

جوش‌ها سفید رنگ، گرد تا نامنظم، با ابعاد ۳-۱ میلی-متر و روی سطوح بالائی و پائینی برگ‌ها (غلب سطح پائینی) تشکیل می‌شوند. میسلیوم بین سلولی، هیف اسپورانژی (اسپورانژبر) بی‌رنگ، چماقی تا استوانه‌ای شکل، برخی دارای خمیدگی، اغلب گروهی و با ابعاد ۵-۲۵ میکرومتر هستند. اسپوراتزیوم‌ها بی‌رنگ، گرد، و در زنجیره تشکیل می‌شوند، اسپوراتزیوم‌های اولیه شبیه ثانویه و با دیواره ضخیم‌تر هستند، ابعاد اسپوراتزیوم‌های اولیه (۱۰-۱۵) (۱۱/۹-۱۵/۱) و میانگین ۱۳/۵ میکرومتر و ابعاد اسپوراتزیوم ثانویه (۱۶/۱-۱۶/۹) (۱۲/۹-۱۲/۵) و میانگین ۱۴/۵ میکرومتر اندازه‌گیری شد. اسپور قهوه‌ای روشن تا تیره، گرد، سطح آن دارای برآمدگی‌های گرد، به ندرت بهم پیوسته و بدون انشعاب، و ابعاد (۶۲/۵-۵۸/۴) (۴۷/۶-۴۲/۵) و میانگین ۵۱ میکرومتر تولید می‌شوند.

گونه *Albugo lepidii* از آلمان و هند روی *Lepidium sativum* و گونه‌های مختلف جنس *Lepidium* از نقاط مختلف جهان شامل آمریکا، استرالیا، آلمان، چین، رومانی و کره جنوبی و ترکیه گزارش شده است (Farr & Rossman 2021, Rector *et al.* 2015, Zhang *et al.*

استان گلستان، کلاسنگیان، ۱۳۹۷/۲/۱۱، جمع آوری کننده: میرزائی (شماره ثبت IRAN17992F)

جوش ها سفید رنگ، گرد تا نامنظم گاهی بهم پیوسته، با ابعاد ۴-۶ میلی متر و روی سطوح بالائی و پائینی برگ ها (اغلب سطح پائینی برگ ها) تشکیل می شوند. میسیلیوم بین سلولی، هیف اسپورانژی بی رنگ، چماقی تا استوانه ای شکل، برخی خمیده، اغلب گروهی با ابعاد $15-17/5 \times 20-30$ میکرومتر تشکیل می شود. اسپورانژیوم ها بی رنگ، گرد تا تخم مرغی شکل و در زنجیره تشکیل می شوند، اسپورانژیوم های اولیه دیواره ضخیم، اسپورانژیوم های ثانویه با دیواره نازک، ابعاد اسپورانژیوم های اولیه (۲۰-۱۸)- $(11/5-14)$ و میانگین 16 میکرومتر و ابعاد اسپورانژیوم ثانویه ($27/5-27/7$) و $(12/5-15/3-20/7)$ و میانگین 18 میکرومتر اندازه گیری شد. اسپور قهوه ای تا متمايل به تیره، سطح آن دارای شبکه های ظریف و کم عمق با ابعاد ($51/2-57/4$) و میانگین $53/8$ میکرومتر است.

براساس مطالعه چوئی و پریست (Choi & Priest 1995)، ابعاد اسپور $70-40$ میکرومتر و بر اساس سیلو و همکاران (Soylu *et al.* 2018)، $60-45$ میکرومتر گزارش شده است، که با نتایج تحقیق حاضر مطابقت دارد.

این گونه از آمریکا، پاکستان، ترکیه، چین، مکزیک و کانادا گزارش شده است (Farr & Rossman 2021). در این میان، گزارش های مربوط به ترکیه، مکزیک و یونان مبتنی بر داده های مولکولی (بخشی از Cox2 یا rDNA) و ریخت شناسی ساختارهای شبه قارچ بوده که تنها در نمونه های ترکیه و پاکستان اسپور یافت شده است. گرچه مفهوم اسپورانژیوم اولیه و ثانویه در این گزارشات اخیر نیز تشریح نشده است. ابعاد و الگوی سطوح اسپور نمونه های ترکیه و توصیف چوئی و پریست (Choi & Priest 1995) Vakalounakis & Doulis با تحقیق حاضر مطابقت دارد ().

است. براساس (Choi *et al.* 2011)، الگوی سطوح اسپور ارائه شده برای این گونه به صورت توزیع برآمدگی ها به صورت منظم گاهی نامنظم و با ابعاد ناهمسان ذکر شده است که بیانگر وجود تنوع در الگوی اسپور نمونه های مختلف می باشد. ابعاد هیف اسپورانژی، اسپورانژیوم و اسپور ممکن است در اثر شرایط محیطی و بسته به نوع میزبان تغییر کند (Choi *et al.* 2007).

نمونه های *Albugo lepidii* با سایر نمونه های این آرایه روی میزبان های متعلق به جنس *Lepidium* با حمایت حداقل بوت استرپی $(100/100)$ (ME/ML) بر اساس تجزیه فیلوزنیکی ترکیب توالی های دوزن و نیز ماتریس توالی های Cox2 با حمایت بالا $(98/96)$ به ترتیب در روش حداقل تکامل و بیشینه درست نمائی در یک کlad قرار گرفتند. درون کلادهای تشکیل شده، بین نمونه ها تفاوت نوکلئوتیدی وجود دارد (شکل های ۴ و ۵). IRAN17938F و IRAN17964F توالی های نمونه های IRAN17964F تنها در یک نوکلئوتید ناحیه ITS با یکدیگر تفاوت داشتند. تنوع ژنتیکی بین نمونه های این آرایه روی گونه های مختلف میزبانی مشاهده شده است (Choi *et al.* 2011a, Ploch *et al.* 2010).

در ایران، بیماری زنگ سفید روی میزبان های شاهی از ورامین، گرگان، تهران، رامین و خوزستان به عنوان *Albugo lepidii* و *Cystopus candidus* از کرج با نام *L. latifolium* candidus Viennot-Bourgin 1958 توسط است (Ershad 2009, Poladi *et al.* 2017b).

این اولین گزارش از گونه اختصاصی *Albugo lepidii* از ایران و فرم جنسی آن روی میزبان شاهی در دنیاست.

***Albugo occidentalis* Wilson**

نمونه بررسی شده: روی برگ *Spinacia oleracea*

خصوصیات ریخت‌شناسی ارائه نشده است. میانگین ابعاد اسپور نمونه‌های گزارش بالا از ابعاد نمونه‌های مطالعه حاضر بیشتر است ولی حداقل و حداکثر ابعاد اسپورانژیوم (به ترتیب ۱۵ و ۲۲/۵ میکرومتر) در آن گزارش با ابعاد اسپورانژیوم‌های اولیه مطالعه حاضر (۱۱/۵ و ۲۰ میکرومتر) مطابقت دارد. بر اساس تجزیه فیلوجنتیکی IRAN17992F و *Albugo occidentalis* گزارش شده از ترکیه (KUS-30037) با حمایت حداکثر بوت استرپ در یک کlad مجزا هم گروه شدند (شکل ۴). در تجزیه فیلوجنتیکی مبتنی بر توالی یابی *Cox2* این دو نمونه با نمونه Ao_001 از یونان (Vakalounakis & Doulis 2013) در یک کlad با حمایت حداکثری در روش حداقل تکامل و حمایت بالا (۹۸ %) در روش بیشینه درستنمائی قرار گرفتند (شکل ۵).

این اولین تایید گزارش آرایه *Albugo occidentalis* از ایران بر اساس خصوصیات ریخت‌شناسی و مولکولی همراه با تشریح گونه است.

***Wilsoniana portulacae* (DC.) Thines**

نمونه بررسی شده: روی برگ *Portulaca* sp. زابل، زهک، ۱۳۹۸/۰۶/۲۵، جمع‌آوری کننده: ناروئی (شماره ثبت IRAN18018F) - روی برگ *Portulaca* sp. خراسان جنوبی، طبس، اصفهان، ۱۳۹۷/۰۳/۲۴، جمع آوری کننده: میرزائی (شماره ثبت IRAN17926F).

جوش‌ها سفید تا متمايل به رنگ کرم، گرد تا نامنظم، به ابعاد ۷-۱ میلی‌متر، اغلب در سطح بالائی برگها تشکیل می‌شوند. میسلیوم بین‌سلولی، هیف اسپورانژی (اسپورانژبر) بی‌رنگ، چماقی شکل، گاهی خمیده، اغلب گروهی و با ابعاد ۱۷/۵-۱۲/۵ × ۶۲/۵-۴۲/۵ میکرومتر تشکیل می‌شوند.

2013, Abdul Hagh et al. 2015, Correll et al. 2017, .(Soylu et al. 2018

الگوی سطح اسپور این گونه مشابه گونه *Pustula tragopogonis* توصیف شده است، که دارای شبکه‌های ظریف است و گاهی خطوط در لبه‌های سطح اسپور با Voglmayr & Riethmuller (2006). این الگو با تزئینات سطوح اندام اسپور نمونه IRAN17992F در مطالعه حاضر شباخت دارد. بر اساس نتایج تینس و اسپرینگ (Thines & Spring 2005)، نمونه‌های این گونه قرابت فیلوجنتیکی مبتنی بر توالی یابی rDNA با اعضا جنس *Wilsoniana* دارند ولی به دلیل عدم وجود شواهد ریخت‌شناسی به این جنس Abdul Hagh et al. 2015 این گونه را با نام *Wilsoniana occidentalis* به عنوان گونه‌ای مرکب گزارش نموده‌اند ولی مفهوم اسپورانژیوم اولیه و ثانویه در آن تبیین نشده است. نام *Albugo occidentalis* گذاری گونه هم اکنون نیز تحت نام *Albugo occidentalis* می‌باشد.

گونه *Albugo occidentalis* از ایران، بازار گرگان، روی اسفناج (*Spinacea oleracea* L.) توسط ابراهیمی و افضلی (Ebrahimi & Afzali 2000) و پولادی و همکاران (Poladi et al. 2017b) و بر اساس خصوصیات ریخت‌شناسی گزارش شده است. مفاهیم اسپورانژیوم اولیه و ثانویه برای اعضا جنس‌های مولد بیماری زنگ سفید گیاهان توسط کنستانتنیسکو و تینس (Constantinescu & Thines 2006) ارائه شده است. از این رو، در گزارش ابراهیمی و افضلی (Ebrahimi & Afzali 2000) خصوصیات اسپورانژیوم به جای اسپورانژیوم اولیه و ثانویه تشریح شده است، در گزارش دیگر از خوزستان (Poladi et al. 2017b) نیز

۱۹۷۳ گزارش شده است (Ershad 2009). میانگین ابعاد اسپور نمونه پاکستان با نمونه IRAN18018F مطابقت دارد. حداکثر و حداقل اندازه اسپور ارائه شده برای گونه در تحقیق چویی و پریست (Choi & Priest 1995) ۷۰ و ۴۰ میکرومتر و در نمونه Abdul Hagh *et al.* (2015) ۵۵ و ۵۰ میکرومتر تعیین شده است. شبکه سطح اسپور نمونه گزارش شده از پاکستان منظم تر از نمونه مطالعه حاضر (شکل ۳) و نمونه وگلمیر و ریتمولر (Voglmayr & Riethmuller 2006) میباشد ولی الگوی کلی شبکه برای نمونه ها مشابهت دارد. ابعاد طول هیف اسپورانژی نمونه این تحقیق (۶۲/۵ میکرومتر) اختلاف زیادی با نمونه گزارش شده از پاکستان (۲۹/۵ میکرومتر) دارد. گرچه تاکنون ابعاد هیف اسپورانژی در مطالعات شناسائی تاکسون های عوامل زنگ سفید گیاهان مورد مقایسه و کاربرد قرار نگرفته است.

بر اساس تجزیه فیلوجنتیکی توالی های نواحی ژنی ITS و Cox2 نمونه های IRAN17926F و SMK18991 و Cox2 نمونه های Wilsoniana portulacae درون یک کlad با حمایت بوت استرپ ۹۸/۱۰۰ (ME/ML) قرار گرفتند (شکل ۴). توالی این دو نمونه در هر داده ژنی در جایگزینی یک نوکلتوئید با یکدیگر تفاوت داشتند. بر اساس تجزیه فیلوجنتیکی توالی های Cox2، نمونه IRAN17926F (از منطقه طبس) با Wilsoniana portulacae EU826105 با حمایت بوت استرپ ۶۴ درصد حداقل تکامل در یک زیر کlad قرار گرفته در حالی که در روش بیشینه احتمال این زیر کlad تایید نمی شود. نمونه IRAN18018F (از منطقه زابل) با سایر نمونه های این آرایه با حمایت پائین بوت استرپ (۵۰ درصد) حداقل تکامل تشکیل کlad مستقلی از Wilsoniana متعلق به آرایه های

اسپورانژیوم ها بی رنگ، گرد تا گلابی شکل و در زنجیره تشکیل می شوند. اسپورانژیوم های اولیه سرتاسر دیواره ضخیم ولی اسپورانژیوم های ثانویه دیواره نازک در دو سوی میانی ضخیم تر، ابعاد اسپورانژیوم های اولیه (۲۰-۲۵) (۱۵/۱-۱۸/۳) و میانگین ۱۶/۷ میکرومتر، و اسپورانژیوم های ثانویه (۲۰-۲۵) (۱۵/۷-۲۰/۳) با میانگین ۱۸ میکرومتر اندازه گیری شد. اسپور گرد، به رنگ قهوه ای، سطح آن مشبک، طول خطوط شبکه ها متغیر و با ابعاد (۴۹/۷-۵۹/۳) (۵۰-۶۵) و میانگین ۵۴/۵ میکرومتر اندازه گیری شد.

تا قبل از جدا شدن جنس *Wilsoniana* از جنس *Albugo* گونه *A. portulacae* ب عنوان بیمارگر عامل بیماری زنگ سفید روی میزبان های متعلق به جنس *Portulaca L.* شناخته می شد. پس از نام گذاری این گونه مرکب با نام *Wilsoniana portulacae* توسط تینس و اسپرینگ (Thines & Spring 2005)، تاکنون این نام معابر است. گرچه گزارش های متعددی در دنیا با نام قبلی وجود دارد. این بیمارگر از آلمان، پاکستان، چین، کره جنوبی، پرتغال و اسپانیا روی گیاهان تیره Portulacaceae (Thines & Spring 2005, Abdul Hagh *et al.* 2015, Farr & Rossman 2021

ترکیب داده های مولکولی و تزئینات سطح اسپور در تعیین حدود و شغور گونه های جنس *Albugo* و دو جنس جدایشده از آن *Pustula* و *Wilsoniana* به کار گرفته شده است (Voglmayr & Riethmuller 2006). برای این گونه، الگوی سطح اسپور به صورت شبکه های نسبتاً منظم توصیف شده است (Voglmayr & Riethmuller 2006). این گونه از ایران با نام *Albugo portulacae* از مناطق مختلف روی خرفه (گلستان، خراسان، خوزستان، تهران، آذربایجان شرقی، مازندران و کرج) بین سالهای ۱۹۴۱-

Caryophyllidae محدود می‌شود. پس از بازنگری اعضا این راسته بر اساس داده‌های مولکولی و ریخت‌شناسی که منجر به تفکیک دو جنس *Pustula* و *Wilsoniana* از جنس *Albugo* گردید، گونه‌های جدید یا مرکب برای این جنس‌ها معرفی شد و گونه‌های نادر یا گزارش شده قبلی *Albugo* تایید یا بازنگری گردید که بیشتر مربوط به جنس *Pustula* هستند. در بین نمونه‌های جنس‌های *Albugo* و *Pustula* چندین گونه جدید توصیف شده است که احتمالاً میزبان اختصاصی باشند. تنوع زیستی این شبه‌قارچ‌ها تا حدود زیادی ناشناخته مانده است در حالی که برخی گونه‌ها موجب خسارت به گیاهان زراعی، صنعتی و زیستی مانند شاهی، تربچه، اسفناج، آفتابگردان و انواع تاج خروس می‌شوند. تأکید بر تنوع زیستی و شناسائی دقیق‌تر این بیمارگرها از جنبه‌های مختلف بیماری‌شناسی گیاهی مانند قرنطینه، همه گیرشناختی و سطوح مقاومت میزبانی اهمیت دارد (Choi et al. 2009, Thines & Voglmayr 2009, Ploch et al. 2011, Thines 2014, Ploch et al. 2018).

سپاسگزاری

از خانم مهندس سپیده ساجدی، محقق موسسه تحقیقات گیاه‌پزشکی کشور، بخاطر شناسایی برخی نمونه‌های گیاهی قدردانی می‌گردد.

portulacae را داد (شکل ۵) و با نمونه AR164 در جایگزینی ۴ نوکلئوتید در توالی مربوط به Cox2 تفاوت دارد.

بر اساس مطالعات اخیر جنس *Portulaca* L. حدود ۱۰۰ گونه دارد که هنوز وجود گونه *Portulaca oleracea* L. از ایران تایید نشده است در حالی که پنج گونه جدید برای ایران از این جنس مشتق شده است (Amini Rad et al. 2017). بنابراین، با توجه به ویژگی اختصاصی بودن گونه به میزبان و وجود گونه‌های متعدد این جنس گیاهی احتمال وجود گونه‌های توصیف نشده در بین نمونه‌های بیمارگر وجود دارد. بنابراین پیش‌بینی می‌شود بررسی نمونه‌های مختلف از این گونه مرکب روی گونه‌های مختلف میزبان‌های متعلق به *Portulaca* تعیین‌کننده حدود و ثغور گونه‌های *Wilsoniana* روی این میزبان‌ها باشد.

بر اساس بررسی منابع، شرح گونه موجود نیست. بنابراین این اولین تایید گزارش آرایه *Wilsoniana* portulacae از ایران بر اساس ترکیب مطالعات ریخت‌شناسی-فیلوزنتیکی و شرح گونه است. گزارشی از آرایه از خوزستان در خلاصه مقالات سومین کنگره قارچ شناسی ایران ارائه شده است (Poladi et al. 2017a). در حال حاضر راسته Albuginales از جنس‌های *Wilsoniana* و *Pustula* *Albugo* تشکیل شده است که دامنه میزبانی آنها به ترتیب به Asteridae و Brassicales می‌باشد.

منابع

- Abdul Hagh M., Shahzad S., and Ghamarunnisa S. 2015. White blister rusts and downy mildews from Bajaur Agency Fata, with some new records from Pakistan. *Pakistan Journal of Botany* 47: 1569–1574.
- Altschul S.F., Gish W., Miller W., Myers E.W., and Lipman D.J. 1990. Basic local alignment search tool. *Journal of Molecular Biology* 215: 403–410.
- Amini Rad M., Sajedi S., and Domina G. 2017. First data on the taxonomic diversity of the *Portulaca oleracea* aggregate (Portulacaceae) in Iran. *Turkish Journal of Botany* 41: 535–541. <https://doi:10.3906/bot-1611-43>
- Amrani S., and Abdel-Azeem A.M. 2018 – Checklist of Algerian fungi – Part 1: Protozoan Fungal Analogues

- (Oomycota, Bigyra, Cercozoa). *Microbial Biosystems* 3: 13–28.
- Biga M.L.B. 1955. Re-examination of the species of the genus *Albugo* on the basis of the morphology of the conidia (Riesaminazione delle specie del genere *Albugo* in base alla morfologia dei conidi). *Sydowia* 9: 339–358 (in Italian).
- Buaya A.T., and Thines M. 2020. Diatomophthoraceae—a new family of olpidiopsis-like diatom parasitoids largely unrelated to Ectrogella. *FUSE* 5:113–118.
- Choi D., and Priest M.J. 1995. A key to the genus *Albugo*. *Mycotaxon* 53: 261–272.
- Choi Y.J., Shin H.D., Hong S.B., and Thines M. 2007. Morphological and molecular discrimination among *Albugo candida* materials infecting *Capsella bursa-pastoris* worldwide. *Fungal Diversity* 27:11–34.
- Choi Y.J., Shin H.D., Ploch S., and Thines M. 2008. Evidence for uncharted biodiversity in the *Albugo candida* complex, with description of a new species. *Mycological Research* 112: 1327–1334.
- Choi Y.J., Shin H.D., Ploch S., and Thines M. 2011a. Three new phylogenetic lineages are the closest relatives of the widespread species *Albugo candida*. *Fungal Biology* 115: 598–607.
- Choi Y.J., Shin H.D., and Thines M. 2009. The host range of *Albugo candida* extends from Brassicaceae through Cleomaceae to Capparaceae. *Mycological Progress* 8:329–335.
- Choi Y.J., Thines M., and Shin H.D. 2011b. A new perspective on the evolution of white blister rusts: *Albugo* s.str. (Albuginales; Oomycota) is not restricted to Brassicales but also present on Fabales. *Organisms Diversity and Evolution* 11: 193–199. <http://dx.doi.org/10.1007/s13127-011-0043-5>.
- Constantinescu O. and Thines M. 2006. Dimorphism of sporangia in Albuginaceae (Chromista, Peronosporomycetes). *Sydowia* 58: 178–190.
- Cooke D.E.L., Drenth A, Duncan J.M., Wagels G., and Brasier M. 2000. A molecular phylogeny of *Phytophthora* and related Oomycetes. *Fungal Genetics and Biology* 30:17–32.
- Correll J.C., Feng C.D. and Liu B. 2017. First report of white rust (*Albugo occidentalis*) on spinach in Mexico. *Plant Disease* 101: 511–512.
- Ebrahimi A.G., and Afzali H. 2000. *Albugo occidentalis*, a new fungus to Iran. *Rostaniha* 1: 73.
- Ershad D. 2009. Fungi of Iran. 3rd ed. Agricultural Research. Education and Extension Organization, Publication No. 10. Tehran, Iran, 531 pp. (in Persian)
- Farr D.F., and Rossman A.Y. Fungal Databases, U.S. National Fungus Collections, ARS, USDA. Retrieved September 30, 2021, from <https://nt.ars-grin.gov/fungaldatabases/>
- Farris J., Källersjö M., Kluge A., and Bult C. 1994. Testing significance of incongruence. *Cladistics* 10: 315–319. <https://onlinelibrary.wiley.com/doi/10.1111/j.1096-0031.1994.tb00181.x>
- Hirata T., and Takamatsu S. 1996. Nucleotide sequence diversity of rDNA internal transcribed spacers extracted from conidia and cleistothecia of several powdery mildew fungi. *Mycoscience*. 37: 265–270.
- Hudspeth D.S.S., Nadler S.A., and Hudspeth M.E.S. 2000. A cox2 molecular phylogeny of the Peronosporomycetes. *Mycologia* 92:674–684.
- Katoh K., Rozewicki J., and Yamada K.D. 2019. MAFFT online service: multiple sequence alignment, interactive sequence choice and visualization. *Briefings in Bioinformatics* 20: 1160–1166.
- Koike S.T., Sullivan M.J., Southwick C., Feng C., and Correll J.C. 2011. Characterization of white rust of perennial pepperweed caused by *Albugo candida* in California. *Plant Disease* 95: 876.
- Latinovic J., Latinovic N., Jakse J., and Radisek S. 2019. First report of white rust of rocket (*Eruca sativa*) caused by *Albugo candida* in Montenegro. *Plant Disease* 103: 163.
- Mangwende E., Kalonji Kabengele J.B., Truter M., and Aveling T.A.S. 2015. First report of white rust of rocket (*Eruca sativa*) caused by *Albugo candida* in South Africa. *Plant Disease* 99: 290.
- Mirzaee M.R., Abbasi M., and Mohammadi M. 2009. *Albugo candida* causing white rust on *Erysimum crassicaule* in Iran. *Australasian Plant Disease Notes* 4:124–125.
- Mirzaee M.R., Ploch S., Runge F., Telle S., Nigrelli L., and Thines M. 2013. A new presumably widespread species of *Albugo* parasitic to *Strigosella* spp. (Brassicaceae). *Mycological Progress* 12: 45–52.
- Mirzaee M.R., Ploch S., and Thines M. 2021. A new desert-dwelling oomycete, *Pustula persica* sp. nov., on *Gymnarrhena micrantha* (Asteraceae) from Iran. *Mycoscience* (in press).
- Mirzaee M.R., and Sajedi S. 2015. First confirmed report of white blister rust disease caused by *Albugo candida* on *Capsella bursa-pastoris* in Iran. *Journal of Plant Pathology* 97: S71.

- Mirzaee M.R., Ploch S., Nigrelli L., Sajedi S., and Thines M. 2018. First confirmed report of white blister rust disease caused by *Albugo candida* on *Isatis emarginata*. Journal of Plant Pathology 100: 587. <https://doi.org/10.1007/s42161-018-0091-1>
- Mishra B., Ploch S., Weiland C., and Thines M. (Unpublished manuscript) TrEase - a webserver to infer phylogenetic trees with ease. <http://www.thines-lab.senckenberg.de/trease>.
- Moncalvo J.M., Wang H.H., and Hseu R.S. 1995. Phylogenetic relationships in *Ganoderma* inferred from the internal transcribed spacer and 25S ribosomal DNA sequences. Mycologia 87:223–238.
- Ploch S., Choi Y.J., Rost C., Shin H.D., Schilling E., and Thines M. 2010. Evolution of diversity in *Albugo* is driven by high host specificity and multiple speciation events on closely related Brassicaceae. Molecular Phylogenetics and Evolution 57: 812–820.
- Ploch S., Choi Y.J., and Thines M. 2018. The only known white blister rust on a basal angiosperm is a member of the genus *Albugo*. Organisms Diversity and Evolution 18:63–69.
- Ploch S., Telle S., Choi Y.J., Cunningham J.H., Priest M., Rost C., Shin H.D., and Thines M. 2011. The molecular phylogeny of the white blister rust genus *Pustula* reveals a case of underestimated biodiversity with several undescribed species on ornamentals and crop plants. Fungal Biology 115:214–219.
- Poladi P., Farokhi Nejad R., and Mehrabi Koshki M. 2017a. Identification of *Wilsoniana portulacae* as cause of white rust of Portulacaceae in Khozestan province. 3rd Iranian Mycological Congress, 26-28 August 2017a, University of Kurdistan, Sanandaj, Iran.
- Poladi P., Farokhi Nejad R., and Mehrabi Koshki M. 2017b. Detection and morphological identification of different causes of white rust disease on vegetables in Khozestan province. 3rd Iranian Mycological Congress, 26-28 August 2017b, University of Kurdistan, Sanandaj, Iran.
- Rector B.G., Wang S., Choi Y.J., and Thines M. 2015. First report of *Albugo lepidii* causing white rust on broadleaved pepperweed (*Lepidium latifolium*) in Nevada and California. Plant Disease 100: 229.
- Soylu S., Kara M., Kurt S., Uysal A., Shin H.D., Choi Y.J., and Soylu E.M. 2018. First report of white blister rust disease caused by *Albugo occidentalis* on spinach in Turkey. Plant Disease 102: 826–827
- Soylu E.M., Kara M., Kurt S., Uysal A., Shin H.D., Choi Y.J., and Soylu S. 2019. First report of *Albugo lepidii* causing white blister rust on Broadleaved garden cress (*Lepidium sativum*) in Turkey. Plant Disease 103: 2698.
- Stamatakis A. 2014. RAxML version 8: a tool for phylogenetic analysis and post-analysis of large phylogenies. Bioinformatics 30:1312–1313.
- Swofford D.L. 2002. PAUP*. Phylogenetic analysis using parsimony (* and other methods). Version 4.0b10. Sinauer Associates, Sunderland, MA.
- Tamura K., Peterson D., Peterson N., Stecher G., Nei M., and Kumar S. 2011. MEGA5: molecular evolutionary genetics analysis using maximum likelihood, evolutionary distance, and maximum parsimony methods. Molecular Biology and Evolution 28:2731–2739.
- Thines M. 2010. Evolutionary history and diversity of white blister rusts (Albuginales). Polish Botanical Journal 55: 259–264.
- Thines M. 2014. Phylogeny and evolution of plant pathogenic oomycetes, a global overview. European Journal of Plant Pathology.138, 431–447.
- Thines M., Choi Y.J., Kemen E., Ploch S., Holub E.B., Shin H.D., and Jones J.D.G. 2009. A new species of *Albugo* parasitic to *Arabidopsis thaliana* reveals new evolutionary patterns in white blister rusts (Albuginaceae). Persoonia 22:123–128.
- Thines M., and Spring O. 2005. A revision of *Albugo* (Chromista, Peronosporomycetes). Mycotaxon 92:443–458.
- Thines M., and Voglmayr H. 2009. An introduction to the white blister rusts (Albuginales). Pp:77–92. In: Lamour K andKamoun S, (Eds). Oomycete genetics and genomics: diversity, interactions and research tools. Hoboken: John Wiley & Sons, USA.
- Vakalounakis D.J., and Doulis A.G. 2013. First record of white rust, caused by *Albugo occidentalis*, on spinach in Greece. Plant Disease 97: 1253.
- Voglmayr H., and Riethmuller A 2006. Phylogenetic relationships of *Albugo* species (white blister rusts) based on LSU rDNA sequence and oospore data. Mycological Research 110:75–85.
- Vrandecic K., Jurkovic D., Cosic J., Postic J., and Bijelic Z. 2011. White blister rusts (Albuginaceae) on weeds.

Poljoprivreda 17: 47–51.

- Walker J., and Priest M.J. 2007. A new species of *Albugo* on *Pterostylis* (Orchidaceae) from Australia: confirmation of the genus *Albugo* on a monocotyledonous host. *Australasian Plant Pathology* 36:181–185.
- Walsh P.S., Metzger D.A., and Higuchi R. 1991. Chelex 100 as a medium for simple extraction of DNA for PCR-based typing from forensic material. *Bio Techniques* 10: 506–513.
- Warwick S.I., Beckie H.J., Thomas A.G., and McDonald T. 2000. The biology of Canadian weeds. 8 *Sinapis arvensis* L. (updated). *Canadian Journal of Plant Sciences* 80: 939–961.
- Xu B., Song J.G., Xi P.G., and Jiang Z.D. 2016. *Pustula junggarensis* (Albuginales, Oomycota), a new species of white blister rust on *Takhtajaniantha pusilla* from Junggar Basin in China. *Phytotaxa* 289:83–87.
- Yang H., Zhao Z.X., Guo Y.X., and Xu B. 2021. First report of white rust disease caused by *Albugo koreana* on *Camelina sativa* in China. *Plant Disease* 105 (in press).
- Zhang S.H., Guo Q.Y., Yang H., Cao Z., Song J.G., and Xu B. 2018. First Report of white blister rust caused by *Albugo lepidii* on broad leaf pepperwort (*Lepidium affine*) in China. *Plant Disease* 102: 1463.